

Расчет ввода с твердой изоляцией на механическую прочность с учетом:

- электродинамического действия тока короткого замыкания (динамическая стойкость);
- сейсмического воздействия.

ИВУЕ.686352.103-02 РР

л. Подп. и дата

Взам. инв.N |Инв.N дубл.|

Инв. N подл., Подп. и дат

11374

СОДЕРЖАНИЕ

1 Описание и работа	3
2 Допущения	4
3 Информация о модели	4
4 Свойства материала	6
5 Нагрузки и крепления	7
6 Результаты расчета	9
7 Вывод	10
8 Заключение	10

Подп. и дата Взам. инв. N Инв. N дубл. Подп. и дата

ほ		ш					
잂							
		Изм	.Лист	N докум.	Подп.	Дата	L
弖		Pas	враб.	Егоров	Was	80.07	11
5	4	Ут	3.	Никитин	Roger	7	
ᄓ	<u>~</u>				4	1	
<u> </u>	` -						
토							L

ИВУЕ.686352.103-02 РР

ВВОД ГКТIII-60-126/800 О1

Лит.	Лист	Листов
A	2	11

Допустимость применения расчетно-экспериментальной оценки на соответствие требованиям по сейсмостойкости указана в п.5.1.3 ГОСТ30546.1-98 как для изделия, аналогичного ранее испытанному.

Расчет проводился с помощью программы SolidWorks Simulation методом конечных элементов.

Согласно ГОСТ 10693-81 максимальное значение первого пика тока динамической стойкости должно составлять

 $I_{\text{элдин}} = 2.5 \times 25 \times I_{\text{ном}} = 50 \text{кA}$ $I_{\text{ном}} = 800 \text{A}$

Величина силы возникающая при кратковременном воздействии тока короткого замыкания рассчитана по методике в соответствии с ГОСТ Р 52736-2007.

При сейсмическом толчке ввод подвергается действию сложных колебательных нагрузок в каждом сечении.

Силы, действующие на ввод, представляются как эквивалентная сила, действующая в вертикальном направлении и одна из двух сил, действующих в двух взаимно перпендикулярных направлениях, приложенные к центру масс ввода (ГОСТ 17516.1-90 приложение 6 п.2.5, 2.8, 2.9).

Ускорения при толчке, вызывающие эти силы, из-за колебательного характера нагрузок меняются по величине и знаку с течением времени.

В расчете исходим из амплитудных значений ускорений $a_{\mathfrak{s}}$ и $a_{\mathfrak{s}}$.

 a_{ε} – ускорение, действующее в горизонтальном направлении;

 $a_{\rm g}$ - ускорение, действующее в вертикальном направлении;

Исходя из требований по стойкости к воздействию землетрясений (сейсмостойкости) расчетные значения максимальных ускорений принимаются в соответствии с ГОСТ 17516.1-90 С.54 п.2.6, 2.8, 2.9. Расчетные значения максимальных ускорений из Черт.2 ГОСТ 17516.1-90, С.53, составляют $a_e=1\times1,3\times g$; $a_e=0,7\times a_e$ и соответствуют уровню установки до 10м и интенсивности землетрясения 9 баллов по МЅК-64. Коэффициент демпфирования берется из табл.13, С.55 ГОСТ 17516.1-90 как для крупногабаритных изделий. Эти требования соответствуют требованиям по прочности к синусоидальной вибрации в течение 1 мин. (вибропрочность).

Расчет проводился с установкой ввода под углов 60 градусов к вертикали.

Изм Лист № докум. Подп. Дата

Подп. и дата

Взам. инв.

윋

Подп. и дата

№ подп

ИВУЕ.686352.103-02 РР

2. Допущения

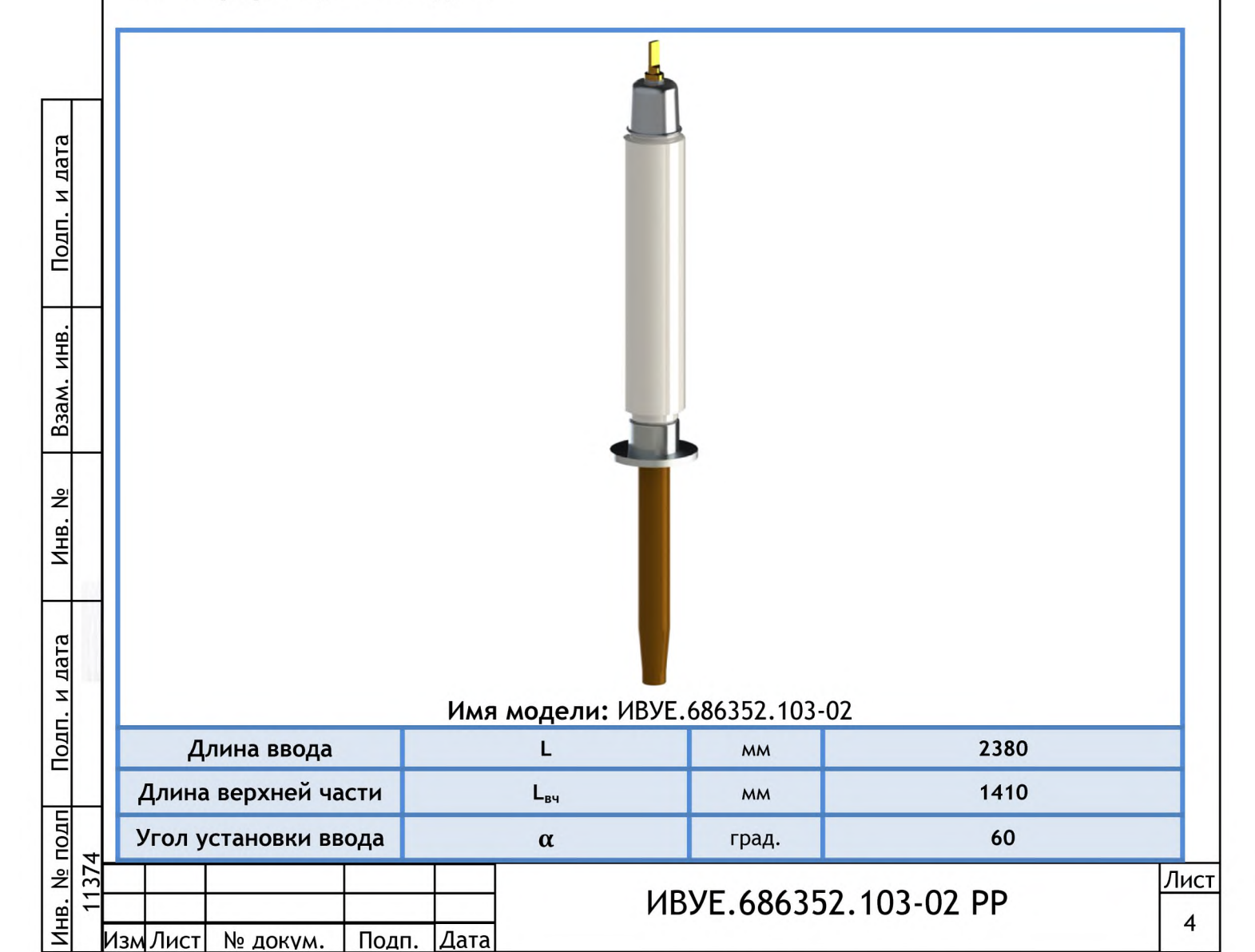




Проанализированная модель

Для упрощения расчетного процесса геометрия фарфоровой покрышки была изменена.

3. Информация о модели



	N.			Компоненты		
		Масса:3.44143 kg Объем:0.001248 m^3 Плотность:2800 kg/m^3	Втулка соединительна	я		
		Macca:0.86803 kg Объем:0.00011063 m^3 Плотность:8500 kg/m^3				
П			Изоляционный остов			
		Масса:13.189 kg Объем:0.010551 m^3 Плотность:1250 kg/m^3	Сечение изоляции в месте закрепления: наружный диаметр, $d_{\scriptscriptstyle H}$,мм внутренний диаметр, $d_{\scriptscriptstyle B}$,мм длина, $L_{\scriptscriptstyle Tp}$, мм	106 46 170		
		Macca:3.474 kg	Токоведущая труба:			
		Объем:0.001299 m^3 Плотность:2800 kg/m^3	наружный диаметр, D _н ,мм внутренний диаметр, D _в ,мм длина, H _o , мм	46 36 1930		
		Масса:3.72109 kg Объем:0.00135396 m^3 Плотность:2800 kg/m^3	Фланец опорный			
		Масса:6.5346 kg Объем:0.00011808 m^3 Плотность:8500 kg/m^3	Шпилька контактная	а контактная		
╢		Macca:55.259 kg	Покрышка фарфорова	я		
		масса:55.259 kg Объем:0.0226016 m^3 Плотность:2450 kg/m^3	наружный диаметр, D _н ,мм внутренний диаметр, D _в ,мм длина, H₀, мм	290 110 1000		
		Macca:1.44265 kg Объем:0.00051666 m^3 Плотность:2800 kg/m^3	Узел стяжной			
374	A.					

№ докум.

4. Свойства материала

Ссылка на модель	Свой	ства	Компоненты	
	Имя: Предел текучести: Предел прочности при растяжении: Модуль упругости: Коэффициент Пуассона: Массовая плотность: Модуль сдвига: Коэффициент теплового расширения:	Д16T ГОСТ 4784-97 2.7e+008 N/m^2 4e+008 N/m^2 7.1e+010 N/m^2 0.32 2780 kg/m^3 2.78e+010 N/m^2 2.3e-005 /Kelvin	Втулка соединительная Фланец опорный Узел стяжной Центральная труба	
	Имя: Предел текучести: Предел прочности при растяжении: Модуль упругости: Коэффициент Пуассона: Массовая плотность:	Латунь ЛС59-1 3.3e+008 N/m^2 3.3e +008 N/m^2 1.08e+011 N/m^2 0.33 8500 kg/m^3	Клемма контактная Шпилька контактная	
	Имя: Предел текучести: Предел прочности при растяжении: Модуль упругости: Коэффициент Пуассона: Массовая плотность: Коэффициент теплового расширения:	RIP-изоляция 8.8e+007 N/m^2 8.8e+007 N/m^2 4.8e+009 N/m^2 0.34 1250 kg/m^3 5.5e-005 /Kelvin	Изоляционный остов	
	Имя: Предел текучести: Предел прочности при растяжении: Модуль упругости: Коэффициент Пуассона: Массовая плотность:	Фарфор 7e+007 N/m^2 7+007 N/m^2 1e+011 N/m^2 0.23 2450 kg/m^3	Покрышка фарфоровая	

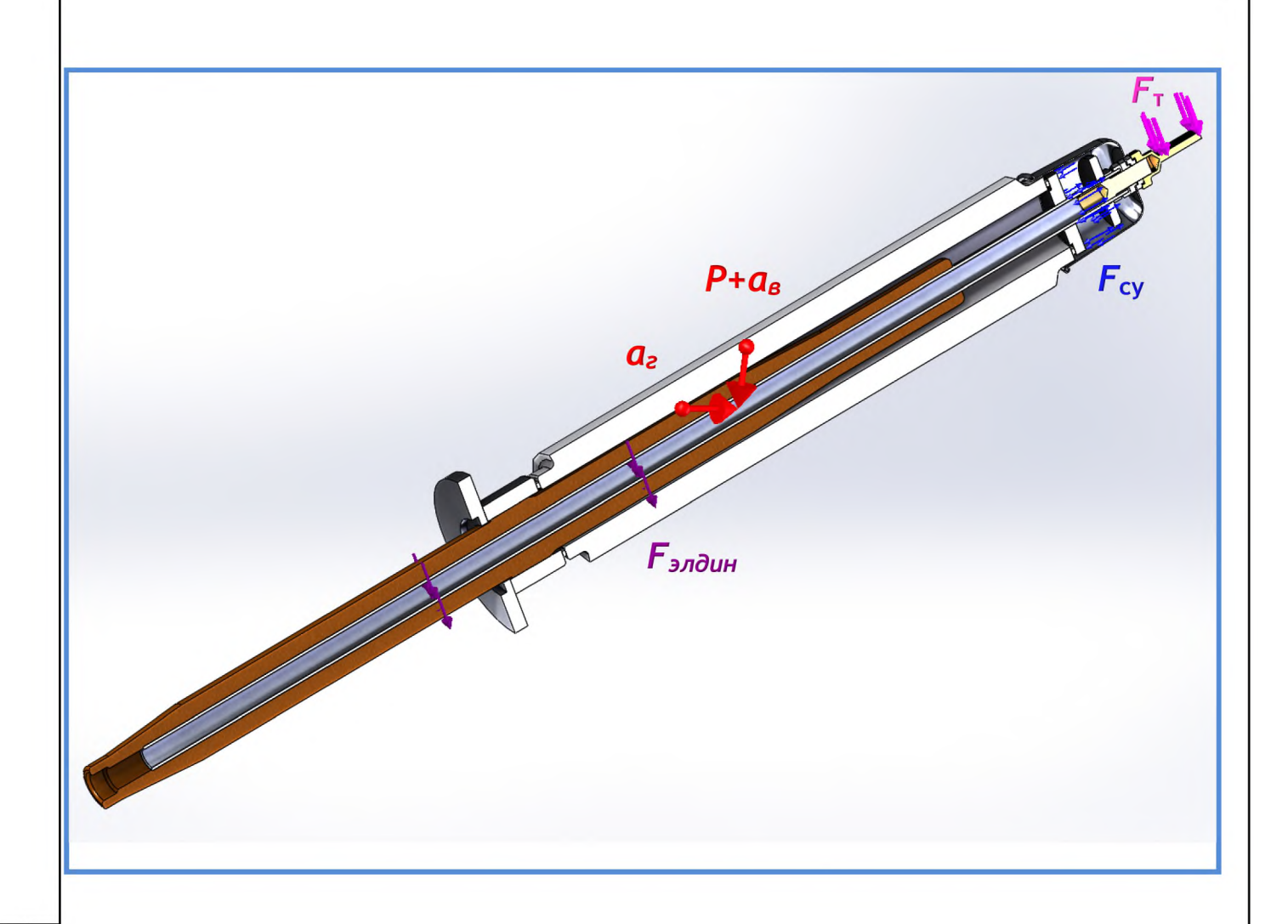
о -Изм Лист № докум. Подп. Дата

ИВУЕ.686352.103-02 РР

5. Нагрузки и крепления

Имя крепления	Изображение крепления	Данные крепления
Зафиксированный		Ввод жестко закреплен за основание опорного фланца

	нагрузки Изображение Внешние нагрузки на расчетную		модель	
	Мах. ускорение		Сейсмическая сила: -амплитудное значение ускорения в горизонтальном направлении, аг-амплитудное значение ускорения в вертикальном направлении, ав	13 m/c² 9,1 m/c²
и дата	Сила тяжести		Ускорение свободного падения, Р	9,81 м/c²
Взам. инв. Подп. и	Сила-1		Максимальная длительная консольная нагрузка приложена к контактной клемме перпендикулярно оси ввода, F_{τ}	625 H
NHB. №	Сила-2		Электродинамическая сила, приложена к трубе перпендикулярно оси ввода и направлена в ту же сторону, что и консольная нагрузка, $F_{\rm элдин}$	1360 H
одп Подп. и дата	Сила-3		Усилие стяжного узла, F _{cy}	24000 H
Инв. № подп 11374	1зм Лист № до	окум. Подп. Дата	ИВУЕ.686352.103-02 РР	<u>Лист</u> 7



В данном расчете для оценки механической устойчивости ввода был принят анализ критерия прочности максимальных эквивалентных напряжений по Мизесу при полном воздействии всех внешних нагрузок на ввод.

При расчете также было принято допущение, приводящие к утяжелению условий в отношении механики для ввода - нагрузки сознательно направлялись в одну сторону.

Изм Лист № докум. Подп. Дата

Подп. и дата

Взам. инв.

Подп. и дата

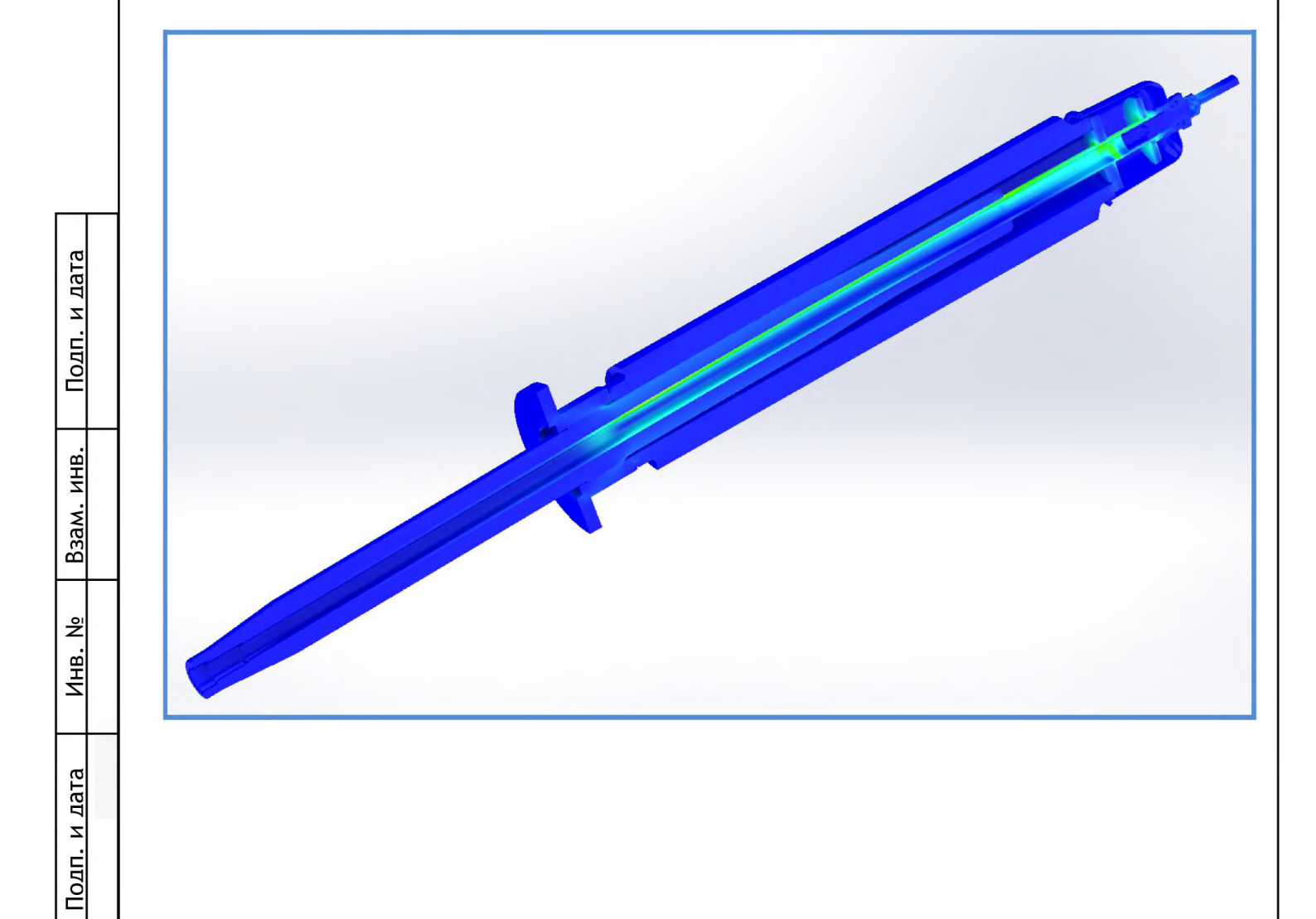
1нв. № подп

ИВУЕ.686352.103-02 РР

6. Результаты расчета

Величины максимальных эквивалентных напряжений

	Макс.экв. напряжение кГ/см²	Предел прочности на растяжение, кГ/см²	Коэффициент запаса, К₃
Изоляционный остов (RIP)	272	897	3,2
Центральная труба	1040	4070	3,9
Соединительная втулка	230	4070	17,7
Фарфоровая покрышка	101	713	6,4



Инв. № подп

ИВУЕ.686352.103-02 РР

7. Вывод

Величина максимального эквивалентного напряжения по Мизесу в совместного действия механических, электродинамических и сейсмических усилий на модель меньше предельно допустимого значения.

8. Заключение

Ввод ГКТІІІ-60-126/800 О1 Черт. ИВУЕ.686352.103-02 с точки зрения механических воздействий и с учетом электродинамических и сейсмических нагрузок устойчив и соответствует ТУ 3493-001-31317133-2008.

Взам. инв.							
Инв. №							
Подп. и дата							
Инв. № подп	11374	Изм Лист	№ докум.	Подп.	Дата	ИВУЕ.686352.103-02 РР	<u>Лист</u> 10